

FLAVONOIDES E OUTRAS SUBSTÂNCIAS DE *Lippia sidoides* E SUAS ATIVIDADES ANTIOXIDANTES

Macia Cleane S. de Almeida, Leonardo A. Alves, Luciana Gregório da S. Souza, Luciana L. Machado, Marcos C. de Matos, Maria Conceição F. de Oliveira e Telma L. G. Lemos*

Departamento de Química Orgânica e Inorgânica, Universidade Federal do Ceará, 60021-970 Fortaleza - CE, Brasil

Raimundo Braz-Filho

Fundação de Amparo à Pesquisa do Estado do Rio de Janeiro / Universidade Estadual do Norte Fluminense / Universidade Federal Rural do Rio de Janeiro, Av. Alberto Lamego, 2000, 28013-603 Campos dos Goytacazes – RJ, Brasil

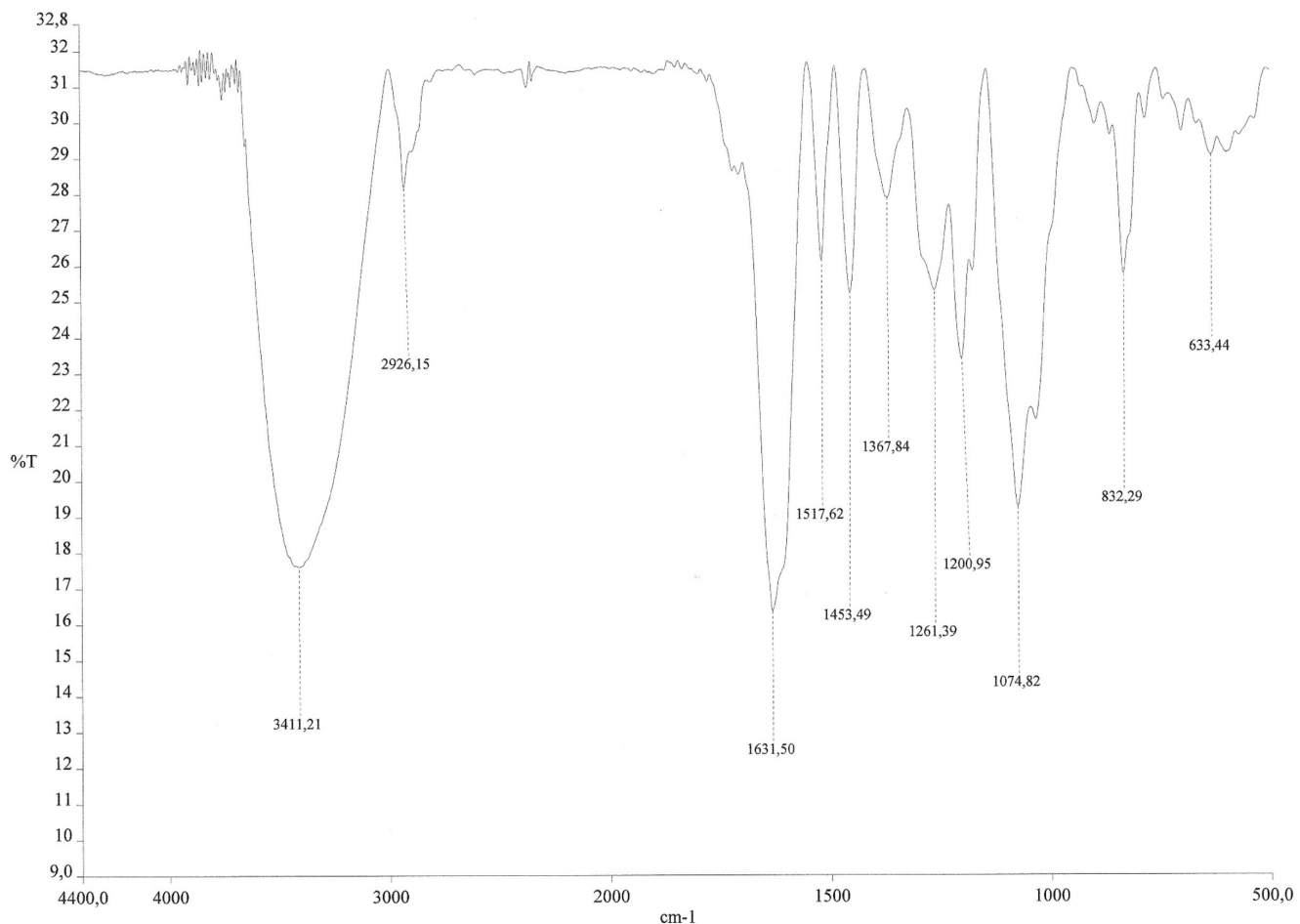


Figura IS. IV (KBr) de 5 (2'-O-β-D-glicopiranosil-3,4,4',6'-tetra-hidroxi-di-hidrochalcona) e 6 (2'-O-β-D-glicopiranosil-4,4',6'-tri-hidroxi-di-hidrochalcona)

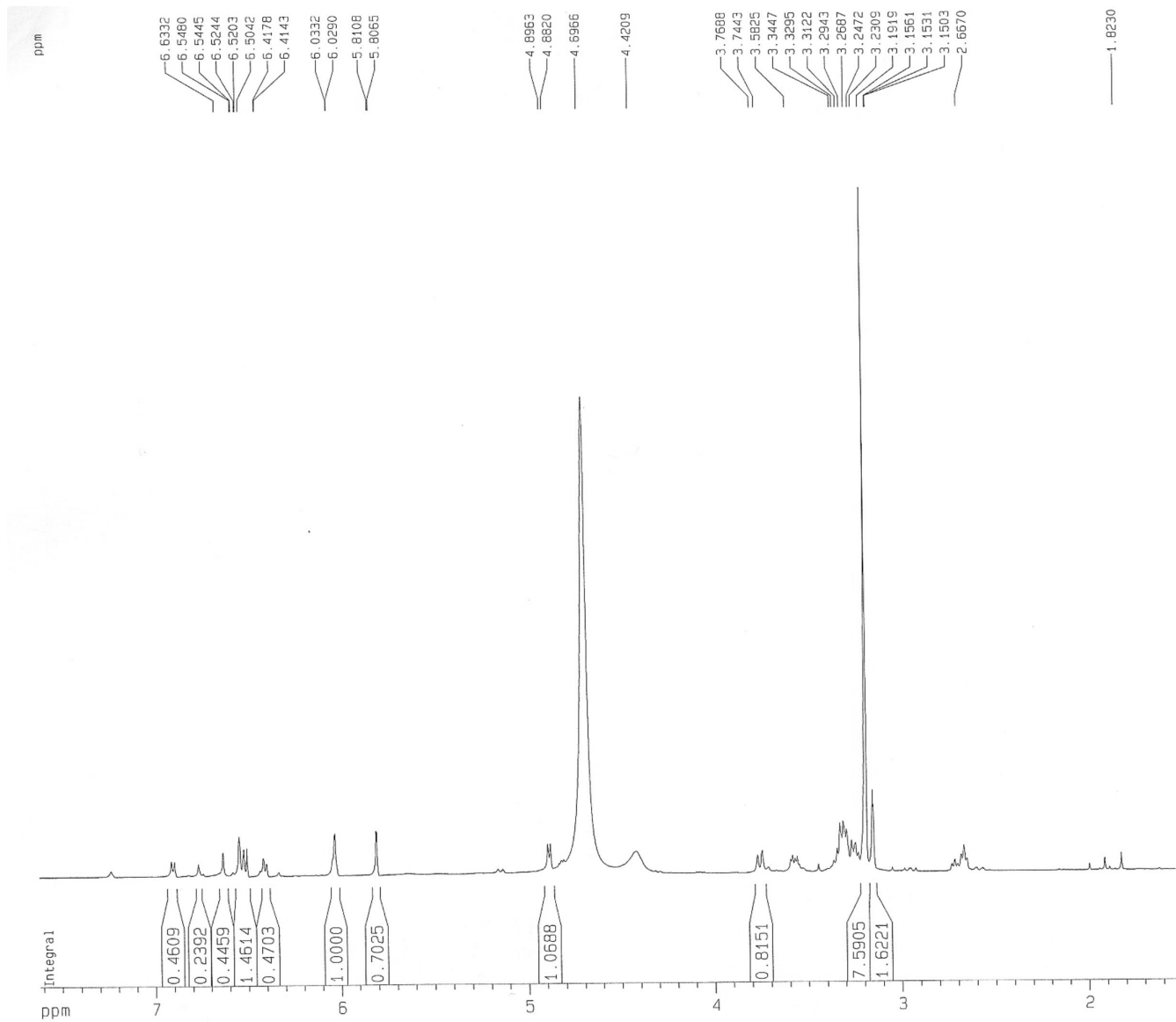


Figura 2S. Espectro de RMN ^1H (500 MHz, CD_3OD) de **5** ($2'\text{-O-}\beta\text{-D-glicopiranosil-3,4,4',6'-tetra-hidroxi-di-hidrochalcona}$) e **6** ($2'\text{-O-}\beta\text{-D-glicopiranosil-4,4',6'-tri-hidroxi-di-hidrochalcona}$)

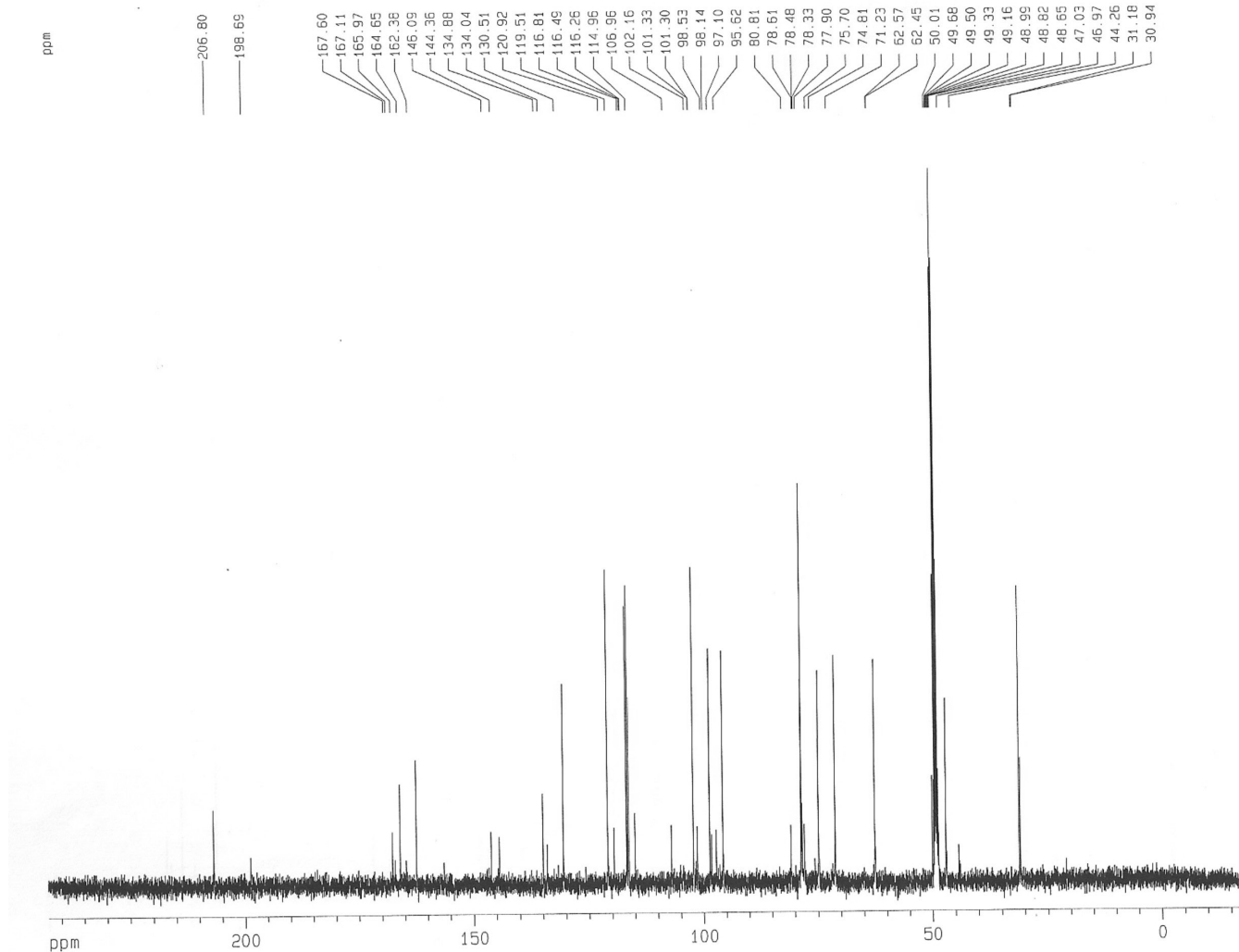


Figura 3S. Espectro de RMN ^{13}C -BB (125 MHz, CD_3OD) de **5** ($2'$ -O- β -D-glicopiranosil-3,4,4',6'-tetra-hidroxi-di-hidrochalcona) e **6** ($2'$ -O- β -D-glicopiranosil-4,4',6'-tri-hidroxi-di-hidrochalcona)

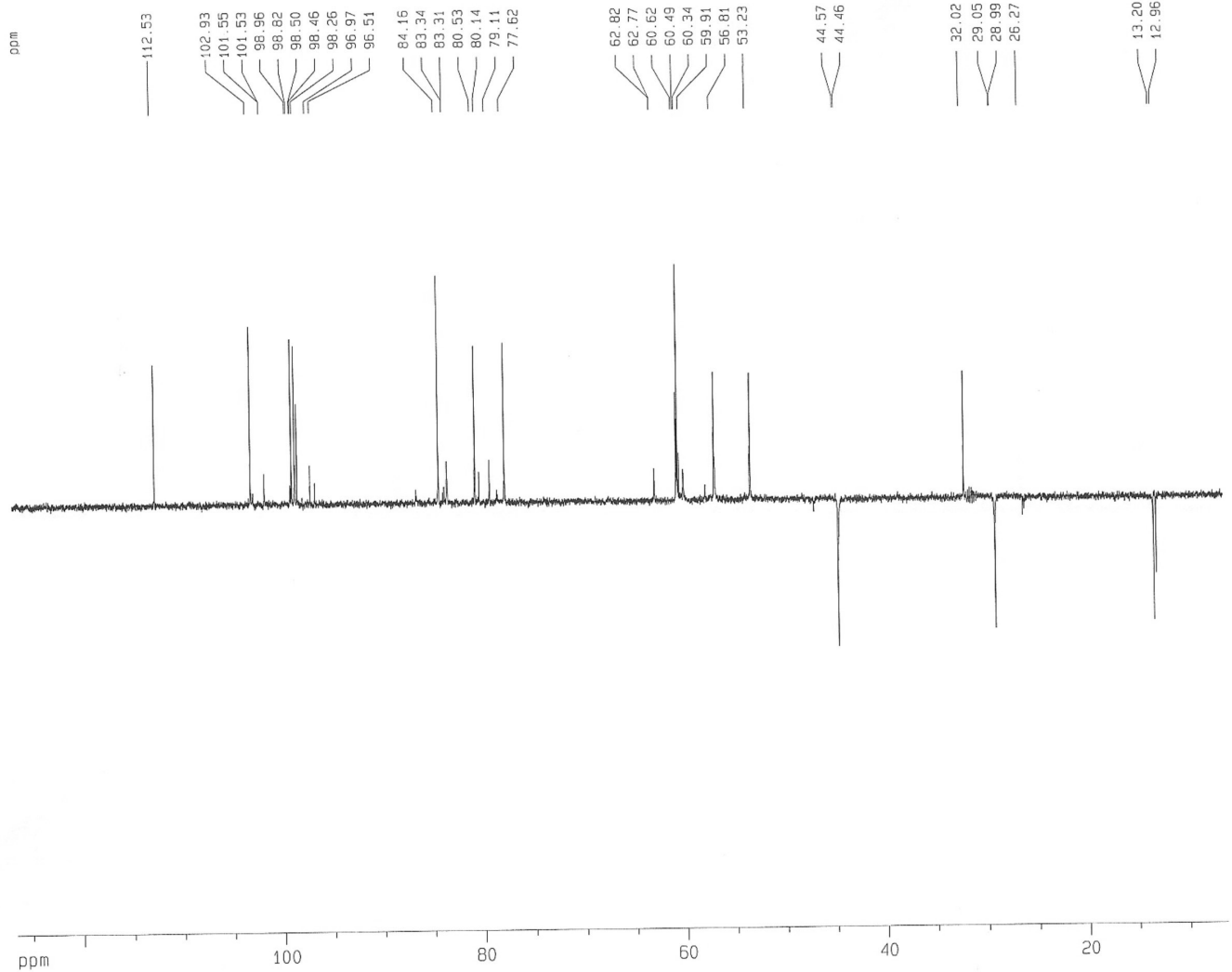


Figura 4S. Espectro de RMN ^{13}C -DEPT (125 MHz, CD_3OD) de **5** ($2'$ -O- β -D-glicopiranosil-3,4,4',6'-tetra-hidroxi-di-hidrochalcona) e **6** ($2'$ -O- β -D-glicopiranosil-4,4',6'-tri-hidroxi-di-hidrochalcona)

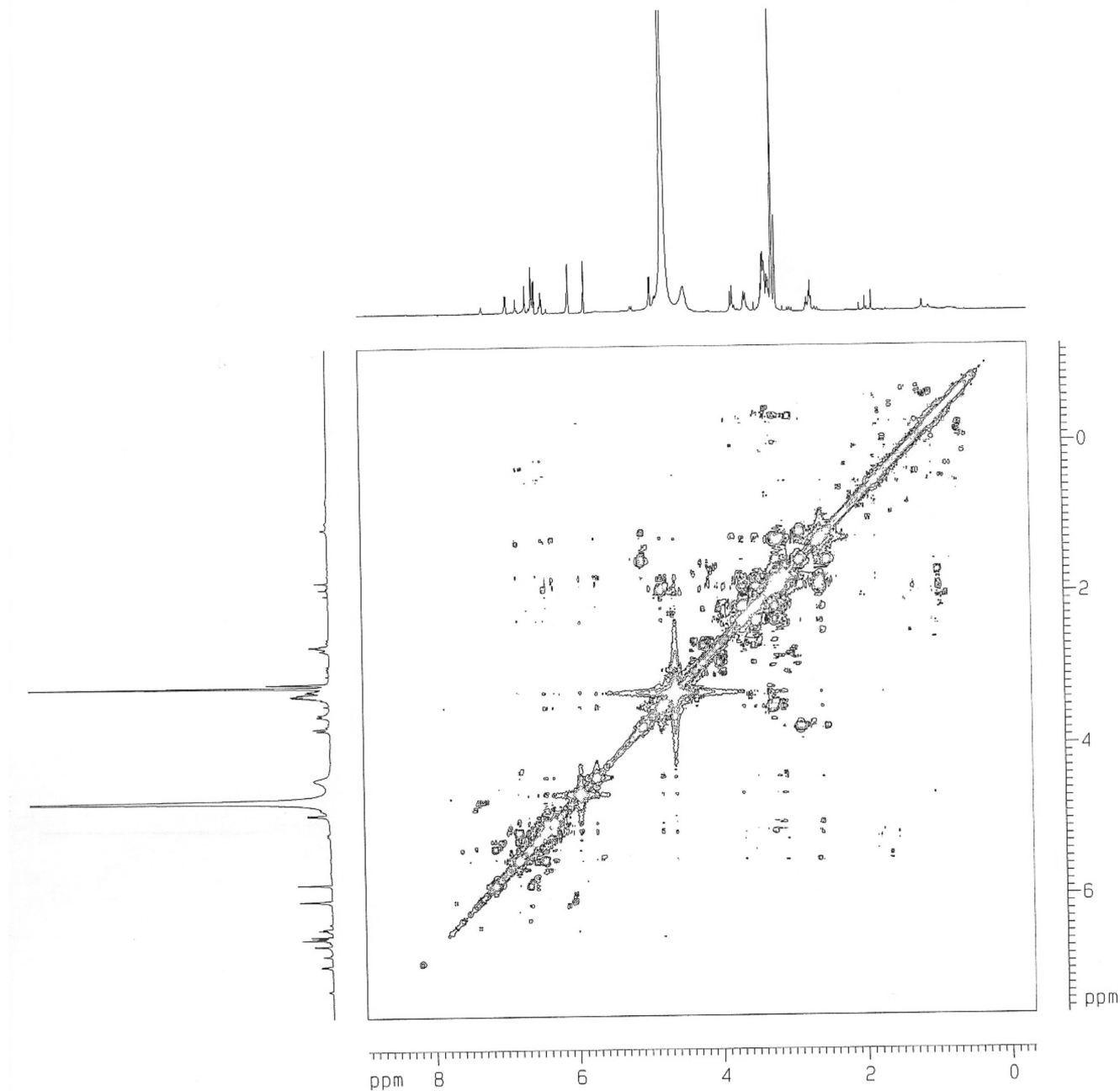


Figura 5S. Espectro de RMN COSY (500 MHz, CD_3OD) de **5** ($2'\text{-O-}\beta\text{-D-glicopiranosil-}3,4,4',6'\text{-tetra-hidroxi-di-hidrochalcona}$) e **6** ($2'\text{-O-}\beta\text{-D-glicopiranosil-}4,4',6'\text{-tri-hidroxi-di-hidrochalcona}$)

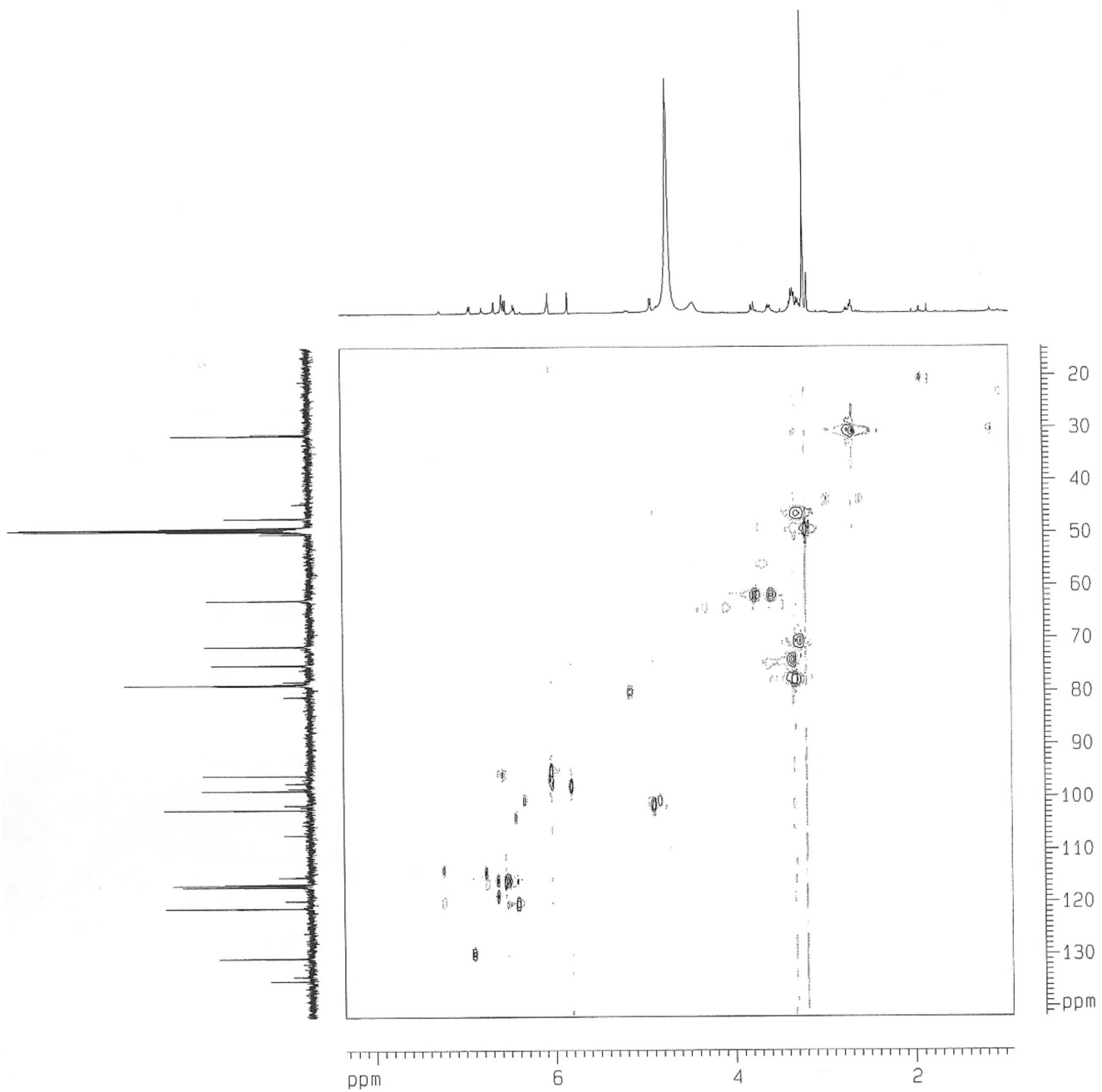


Figura 6S. Espectro de RMN HSQC (500 MHz, CD_3OD) de **5** ($2'\text{-O-}\beta\text{-D-glicopiranosil-3,4,4',6'-tetra-hidroxi-di-hidrochalcona}$) e **6** ($2'\text{-O-}\beta\text{-D-glicopiranosil-4,4',6'-tri-hidroxi-di-hidrochalcona}$)

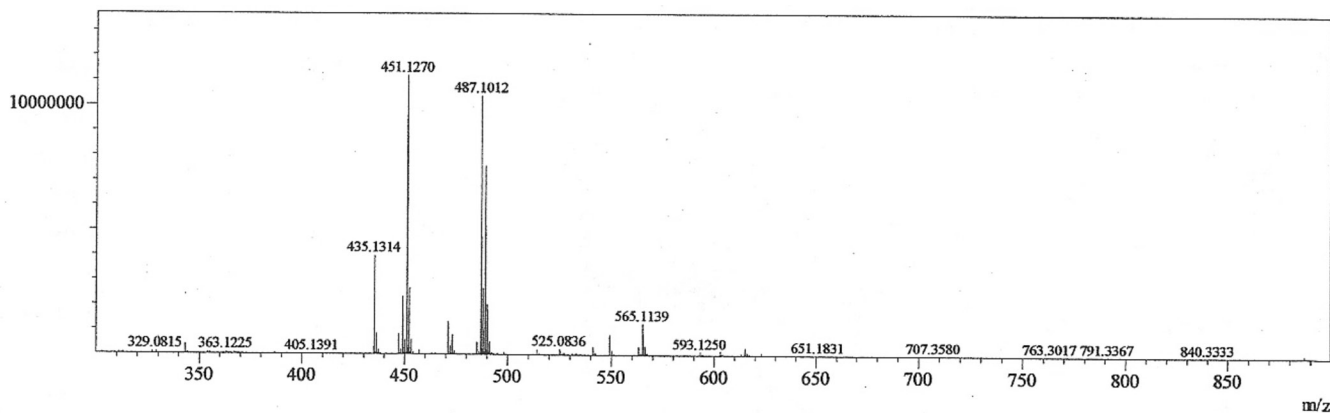


Figura 7S. Espectro de massas de alta resolução de **5** ($2'$ -O- β -D-glicopiranosil-3,4,4',6'-tetra-hidroxi-di-hidrochalcona) e **6** ($2'$ -O- β -D-glicopiranosil-4,4',6'-tri-hidroxi-di-hidrochalcona)

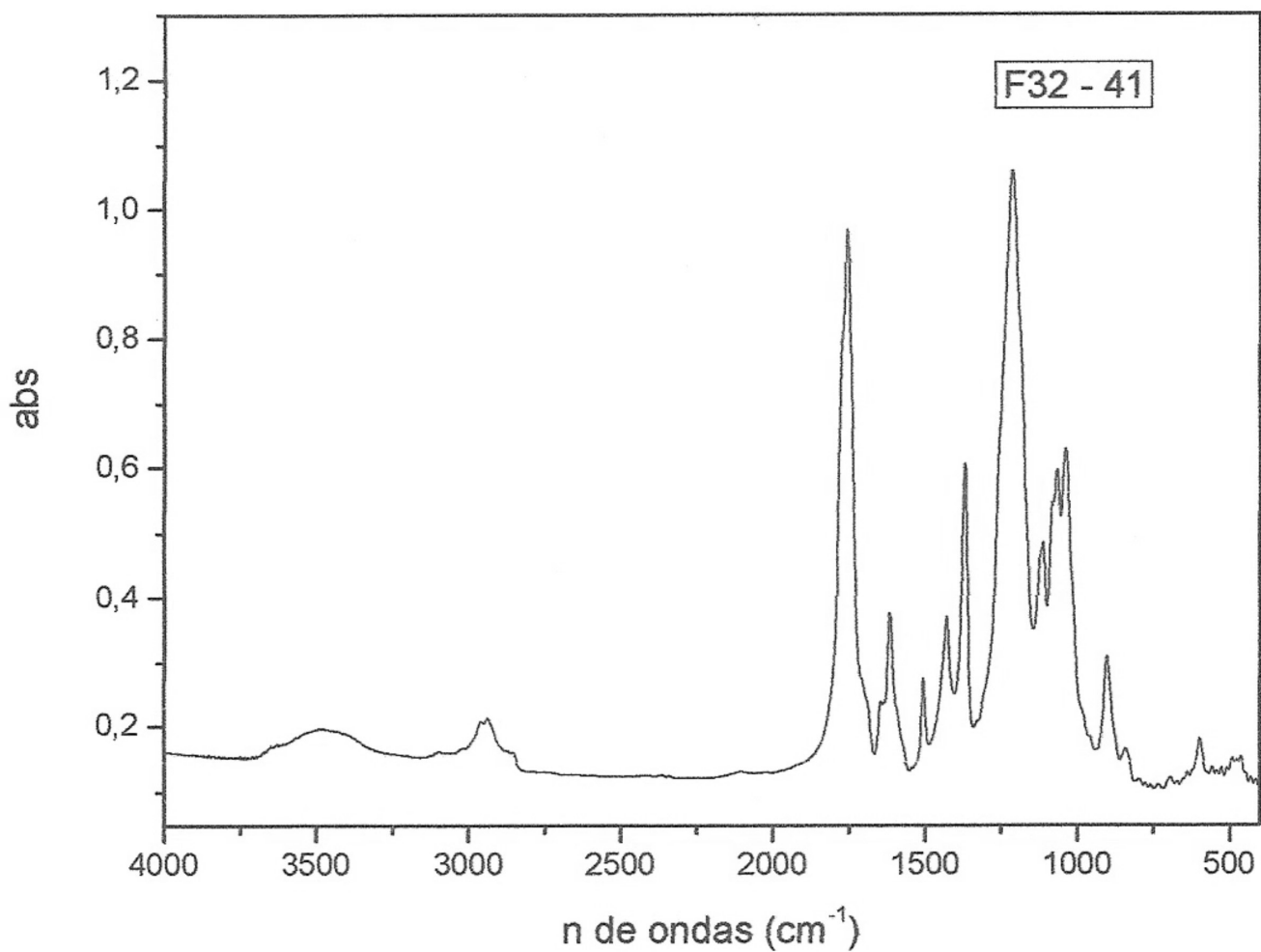


Figura 8S. IV (filme) de **5a** ($2'$ -O- β -D-2'',3'',4'',6''-tetra-O-acetylglucopiranosil-3,4,4',6'-tetra-O-acetyl-di-hidrochalcona) e **6a** ($2'$ -O- β -D-2'',3'',4'',6''-tetra-O-acetylglucopiranosil-4,4',6'-tri-O-acetyl-di-hidrochalcona)

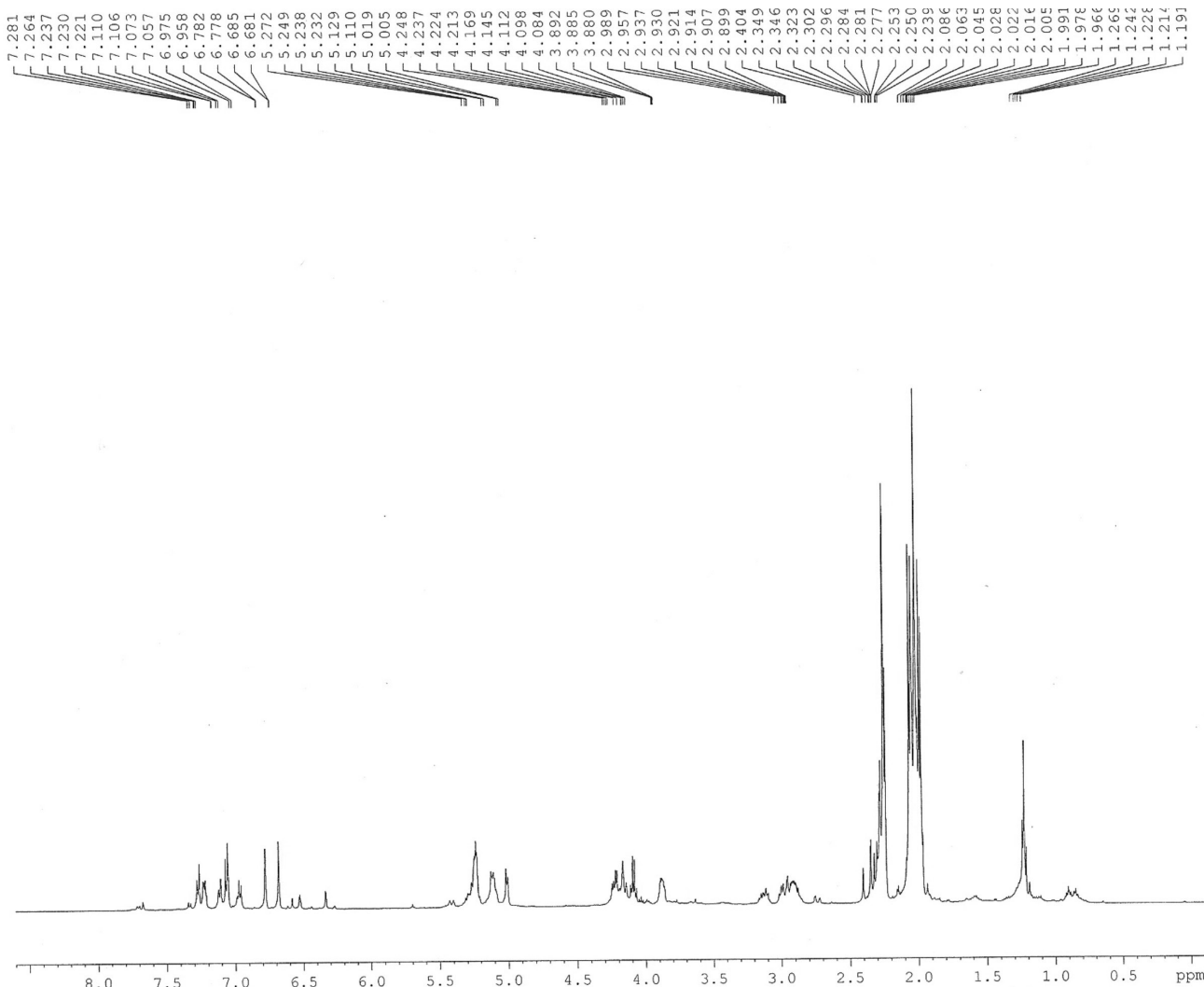


Figura 9S. Espectro de RMN ^1H (500 MHz, CDCl_3) de **5a** ($2'\text{-O-}\beta\text{-D-2''},3'',4'',6''\text{-tetra-O-acetylglucopyranosil-3,4,4',6'-tetra-O-acetyl-di-hidrochalcona}$) e **6a** ($2'\text{-O-}\beta\text{-D-2''},3'',4'',6''\text{-tetra-O-acetylglucopyranosil-4,4',6'-tri-O-acetyl-di-hidrochalcona}$)

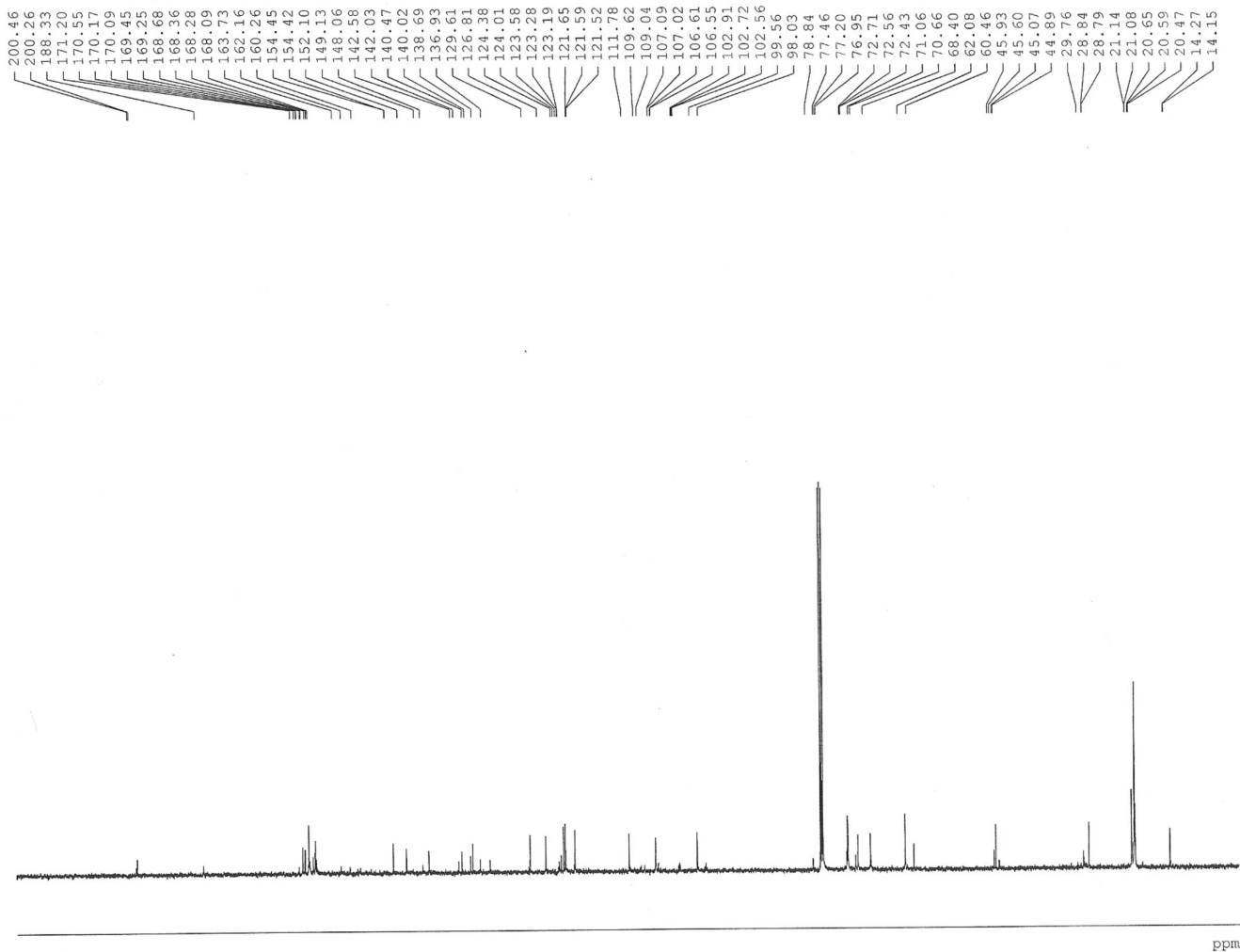


Figura 10S. Espectro de RMN ^{13}C -BB (125 MHz, CDCl_3) de **5a** ($2'$ -O- β -D-2'',3'',4'',6''-tetra-O-acetylglucopiranosil-3,4,4',6'-tetra-O-acetyl-di-hidrochalcona) e **6a** ($2'$ -O- β -D-2'',3'',4'',6''-tetra-O-acetylglucopiranosil-4,4',6'-tri-O-acetyl-di-hidrochalcona)

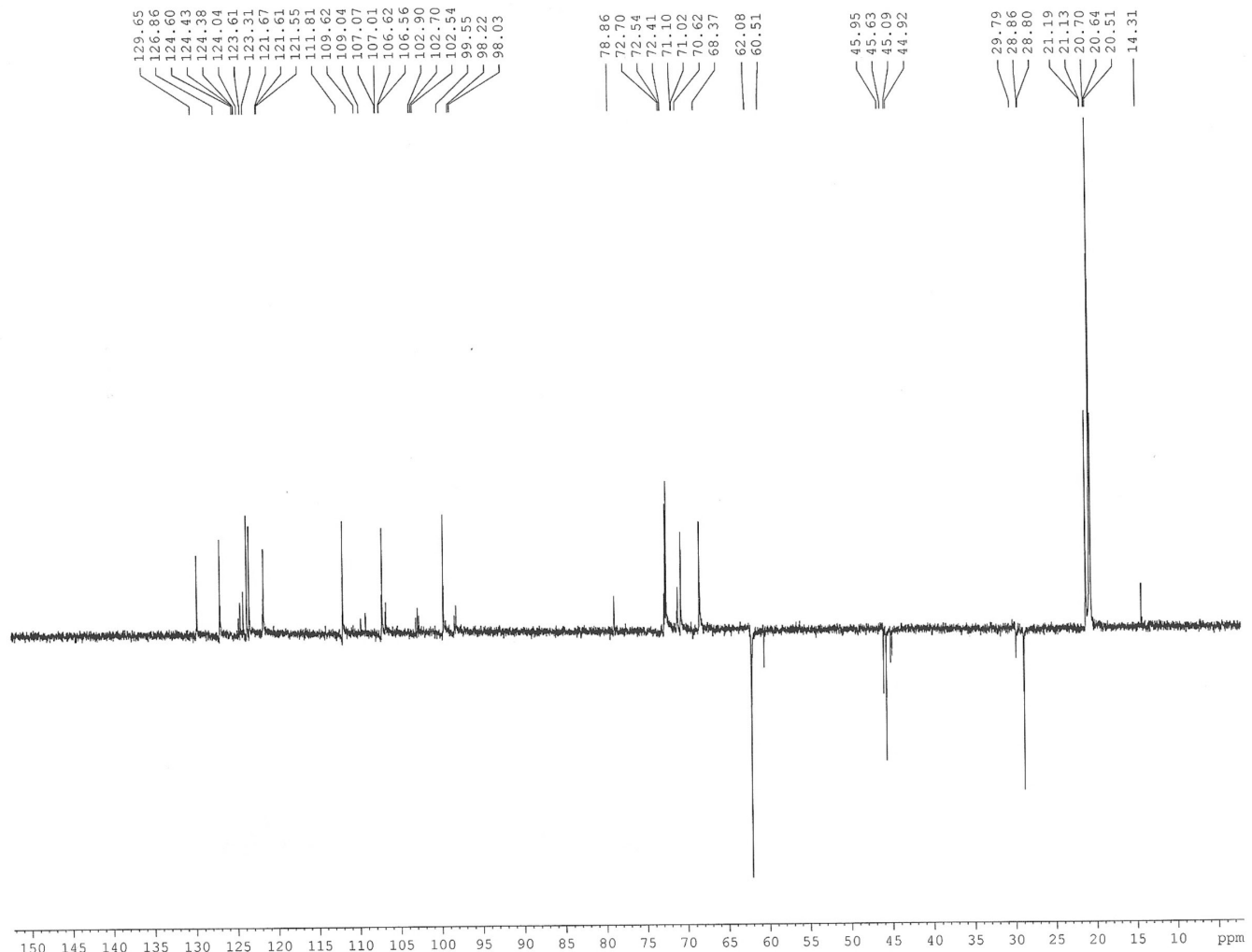


Figura 11S. Espectro de RMN ^{13}C -DEPT (125 MHz, CDCl_3) de **5a** ($2'\text{-O-}\beta\text{-D-2'',3'',4'',6''-tetra-O-acetylglucopyranosil-3,4,4',6'-tetra-O-acetyl-di-hidro-chalcona}$) e **6a** ($2'\text{-O-}\beta\text{-D-2'',3'',4'',6''-tetra-O-acetylglucopyranosil-4,4',6'-tri-O-acetyl-di-hidrochalcona}$)

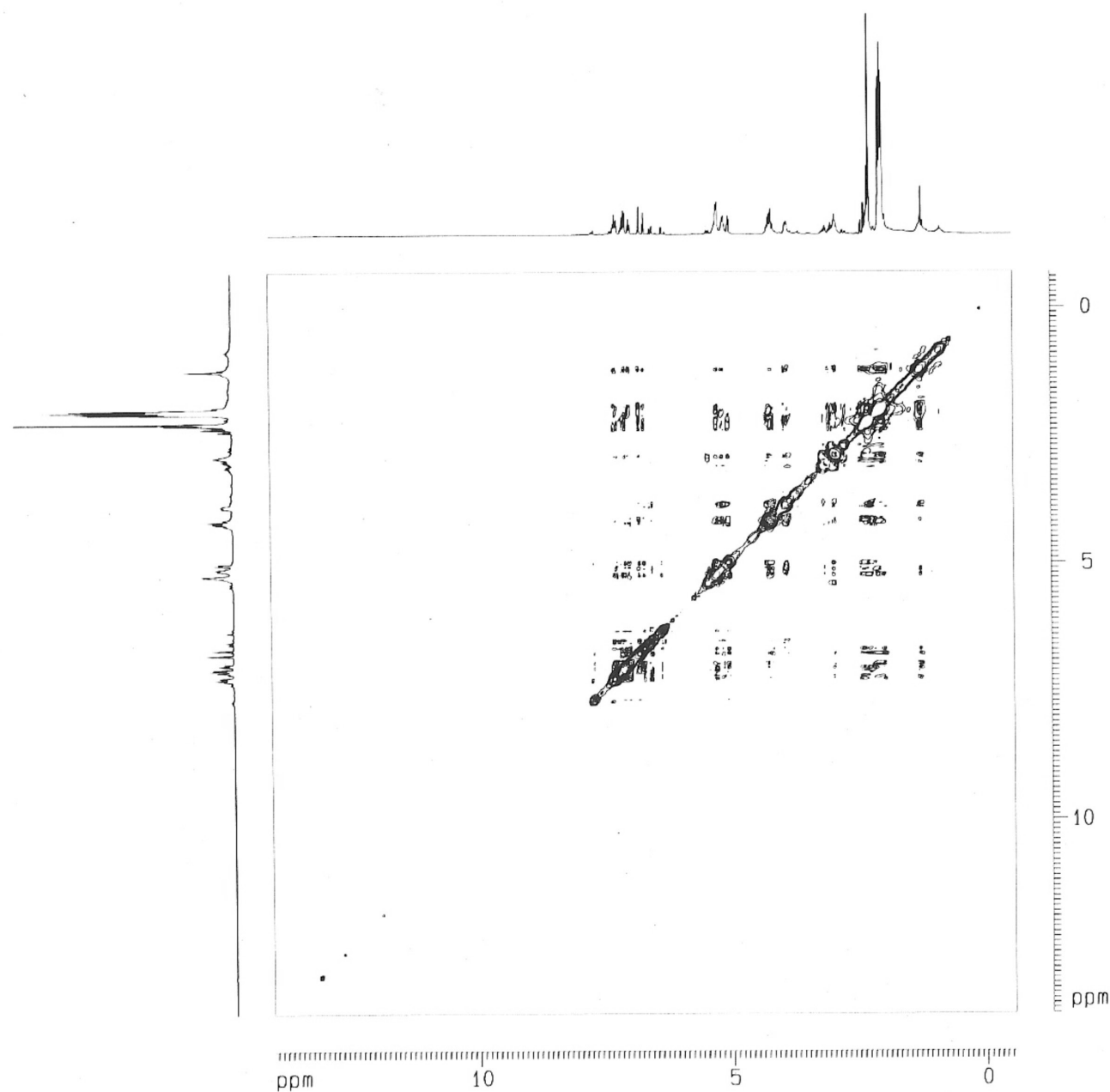


Figura 12S. Espectro de RMN COSY (500 MHz, CDCl₃) de 5a (2'-O-β-D-2",3",4",6"-tetra-O-acetylglucopiranósil-3,4,4',6'-tetra-O-acetyl-di-hidrochalcona) e 6a (2'-O-β-D-2",3",4",6"-tetra-O-acetylglucopiranósil-4,4',6'-tri-O-acetyl-di-hidrochalcona)

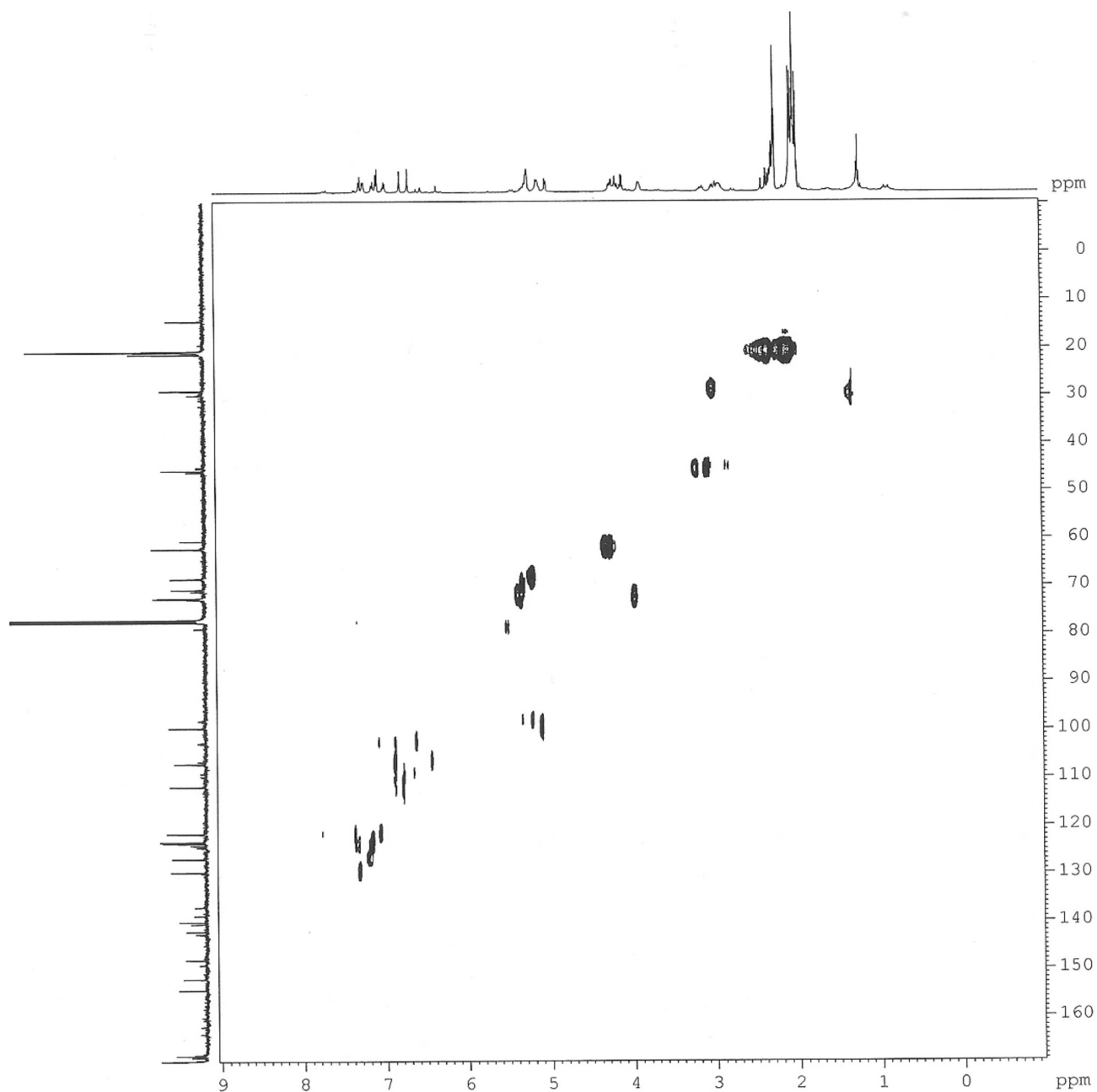


Figura 13S. Espectro de RMN HSQC (500 MHz, CDCl_3) de **5a** ($2'\text{-O-}\beta\text{-D-2''},3'',4'',6''\text{-tetra-O-acetylglucopyranosil-3,4,4',6'-tetra-O-acetyl-di-hidrochalcona}$) e **6a** ($2'\text{-O-}\beta\text{-D-2''},3'',4'',6''\text{-tetra-O-acetylglucopyranosil-4,4',6'-tri-O-acetyl-di-hidrochalcona}$)

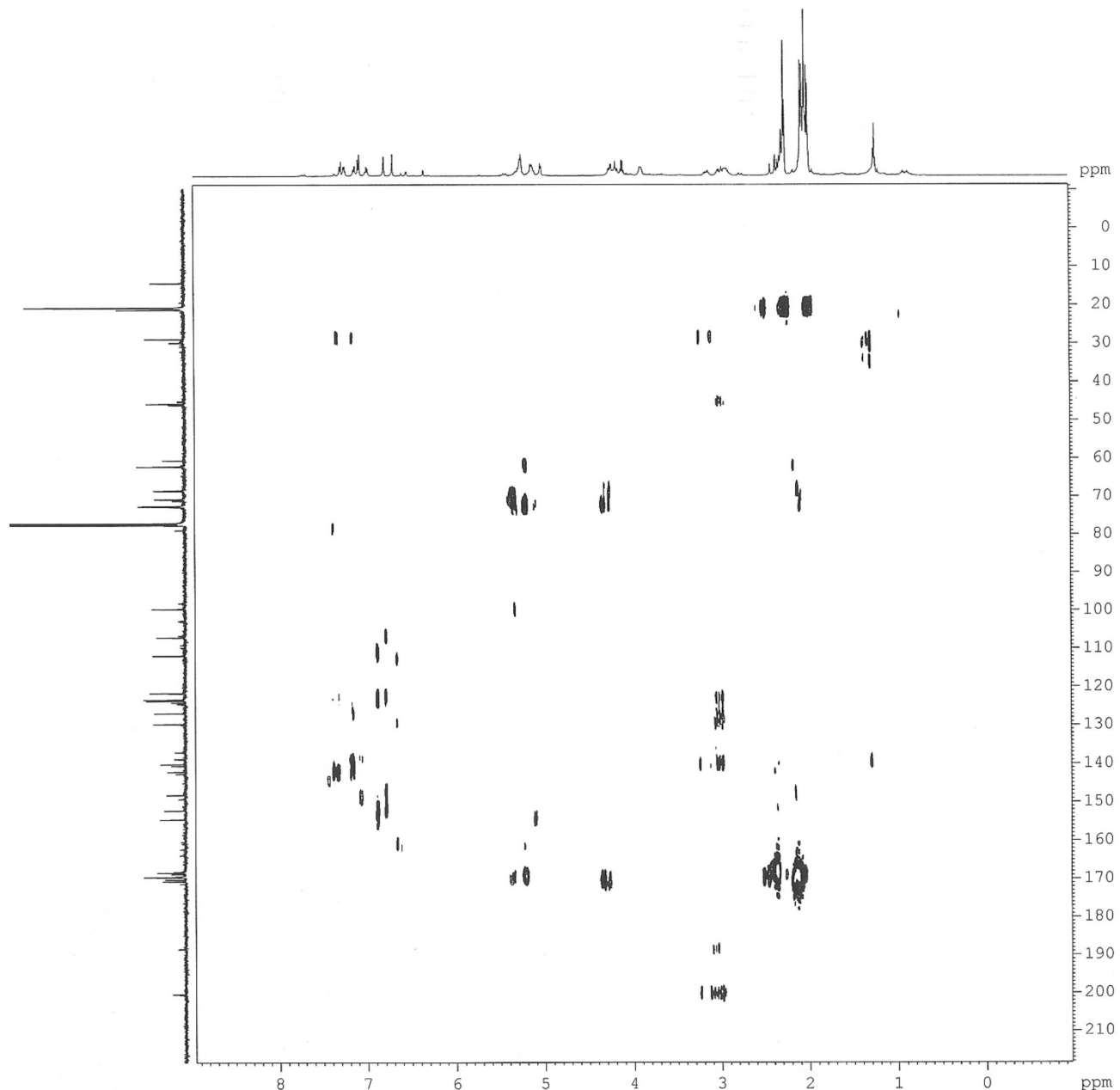


Figura 14S. Espectro de RMN HMBC (500 MHz, $CDCl_3$) de **5a** ($2'$ -O- β -D-2'',3'',4'',6''-tetra-O-acetilglicopiranosil-3,4,4',6'-tetra-O-acetyl-di-hidrochalcona) e **6a** ($2'$ -O- β -D-2'',3'',4'',6''-tetra-O-acetilglicopiranosil-4,4',6'-tri-O-acetyl-di-hidrochalcona)

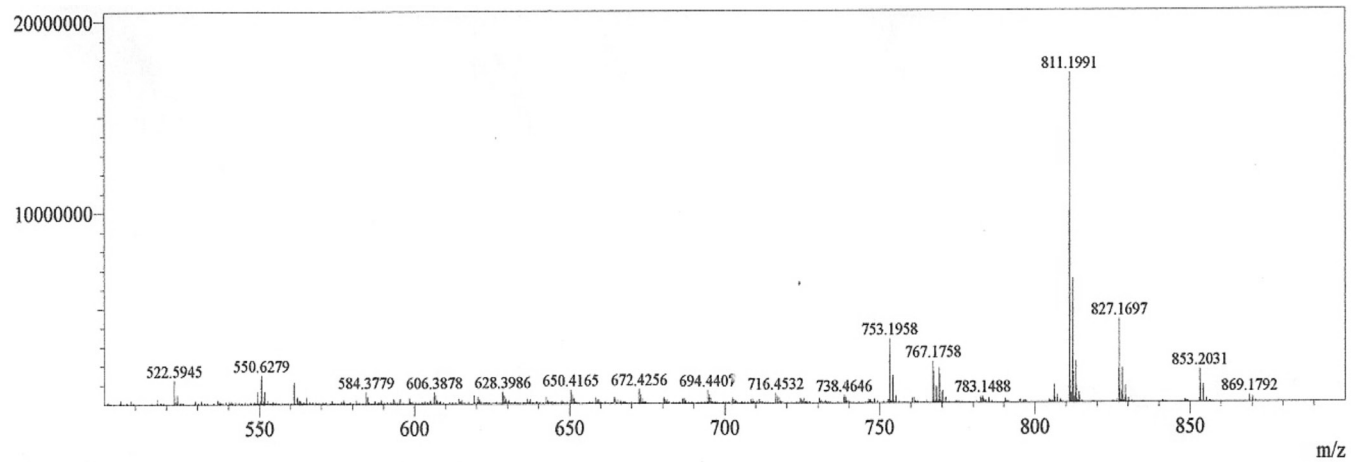


Figura 15S. Espectro de massas de alta resolução de **5a** ($2'$ -O- β -D- $2''$, $3''$, $4''$, $6''$ -tetra-O-acetylglucopiranósil- 3 , 4 ', 6 '-tetra-O-acetyl-di-hidrochalcona) e **6a** ($2'$ -O- β -D- $2''$, $3''$, $4''$, $6''$ -tetra-O-acetylglucopiranósil- 4 , 4 ', 6 '-tri-O-acetyl-di-hidrochalcona)